

**ÁCIDO 3 $\beta$ -O- $\beta$ -D-GLICOPIRANOSIL-21 $\beta$ -E-CINAMOILOXIOLEAN-12-EN-28-ÓICO, UM NOVO TRITERPENO GLICOSÍDICO DE *ENTEROLOBIUM CONTORSTISILIQUUM* (VELL.) MORONG\***

Maria Célia C. Delgado<sup>a</sup>, Marcelo S. da Silva<sup>a</sup> e R. Braz Filho<sup>b</sup>

<sup>a</sup>Núcleo de Pesquisas em Produtos Naturais, Universidade Federal da Paraíba; 58.000 – João Pessoa (PB).

<sup>b</sup>Departamento de Química, Universidade Federal Rural do Rio de Janeiro; 23460 – Seropédica, Rio de Janeiro (RJ).

**RESUMO**

O ácido 3 $\beta$ -O- $\beta$ -D-glicopiranosil-21 $\beta$ -E-cinamoiloxiolean-12-en-28-óico foi isolado dos frutos de uma espécie de *Enterolobium contortisiliquum* (Vell.) Morong, família Leguminosae. A estrutura deste triterpeno glicopiranosílico inédito foi estabelecida com base na análise de dados fornecidos por espectros I.V., R.M.N. (<sup>1</sup>H e <sup>13</sup>C) e de massas da substância original e do derivado acetilado.

**ABSTRACT**

The 3 $\beta$ -O- $\beta$ -D-glucopyranosyl-21 $\beta$ -E-cinnamoyloxyolean-12-en-28-oic acid was isolated from the fruits of *Enterolobium contortisiliquum* (Vell.) Morong, family Leguminosae. The structure of this triterpene glucopyranoside has been established by analysis of the spectroscopic (IR, MS, <sup>1</sup>H NMR and <sup>13</sup>C NMR) data of the natural product and of the acetate derivative.

**INTRODUÇÃO**

A espécie vegetal *Enterolobium contortisiliquum* (Vell.) Morong é uma árvore que ocorre abundantemente no Nordeste do Brasil e os seus frutos são conhecidos pela toxidez em gado.<sup>1</sup> A madeira pardo-amarelada é utilizada para fabricação de canoas, cochos, tabuado de forro, gamelas e na construção civil.<sup>2</sup> As cascas e folhas são ictiotóxicas.<sup>3</sup> Em trabalho anterior<sup>4</sup> relatou-se outros triterpenóides isolados da mistura obtida por hidrólise ácida do extrato etanólico de frutos desta planta, sendo um deles inédito (1). Continuação deste estudo conduziu ao isolamento de novo triterpeno (3), derivado 3 $\beta$ -O- $\beta$ -D-glicopiranósil de 1.

**RESULTADOS E DISCUSSÃO**

O espectro I.V. (KBr) revelou a presença de grupos hidroxila (3450-2500 cm<sup>-1</sup>), carboxila (1710 cm<sup>-1</sup>), ligação dupla conjugada (1630 cm<sup>-1</sup>) e carbonila conjugada (1690 cm<sup>-1</sup>).

O espectro de massas não registrou o pico correspondente ao ion molecular (M<sup>+</sup> 764, C<sub>45</sub>H<sub>64</sub>O<sub>10</sub>). Os picos em m/z 246 (99%), 201 (98%), 207 (16%) e 189 (36%) foram correlacionados com os fragmentos 8, 9, 10 e 11, respectivamente, e permitiram classificar a substância natural em estudo como triterpeno pentacíclico Δ<sup>12</sup>-insaturado.<sup>5,6</sup> A presença das unidades cinamoiloxi e glicopiranósila foi deduzida com base nos picos em m/z 148 (5: C<sub>9</sub>H<sub>8</sub>O<sub>2</sub><sup>7+•</sup>) e 131 (6: C<sub>9</sub>H<sub>7</sub>O<sup>7+</sup>) e 163 (7: C<sub>6</sub>H<sub>11</sub>O<sub>5</sub><sup>7+•</sup>), respectivamente.

A análise dos espectros de R.M.N. <sup>13</sup>C da substância original (20 MHz, CD<sub>3</sub>OD, TMS) e do derivado acetilado (20 MHz, CDCl<sub>3</sub>, TMS) (Tabela 1) confirmou a estrutura triterpénica pentacíclica Δ<sup>12</sup>-insaturada, definindo-se como pertence à série olean-12-eno pelos deslocamentos químicos dos carbonos 12 (3: 124, 20; 4: 123,41 ppm) e 13 (3: 143,78; 4: 142,20 ppm), já que na série urs-12-eno estes carbonos absorvem em torno de 125 (C-12) e 139 ppm (C-13).<sup>9</sup> A presença do grupo E-cinamoiloxi foi confirmada pelos sinais em 167,82 (C-9'), 119,23 (C-8'), 146,01 (C-7'), 135,59 (C-1'), 129,19 (C-2' e C-6'), 129,97 (C-3' e C-5') e 131,43 ppm (C-4'), interpretados por análise comparativa com o ácido E-cinâmico [172,2 (COOH), 117,4 (C $\alpha$ ), 146,8 (C $\beta$ ), 134,0 (C-1), 128,2 (C-2 e C-6), 128,8 (C-3 e C-5), 130,5 (C-4)<sup>10</sup>] e com o ácido 3 $\beta$ -hidroxi-21 $\beta$ -E-cinamoiloxiolean-12-en-28-óico (1) isolado da mesma planta.<sup>4</sup> A unidade glicosídica foi reconhecida pelos sinais em 106,59 (C-1''), 75,58 (C-2''), 78,22 (C-3''), 71,63 (C-4''), 77,55 (C-5'') e 62,76 (C-6'') comparados com os deslocamentos químicos revelados pelo triterpeno 12<sup>7</sup> utilizado como modelo (Tabela 1). Os dados fornecidos pelo espectro do derivado acetilado (4) e comparação com a substância modelo 13<sup>8</sup> corroboraram para estas deduções (Tabela 1). Os dados de R.M.N. <sup>13</sup>C permitiram ainda definir a posição e a estereoquímica de cada um dos grupos glicopiranósloxí e E-cinamoiloxi no esqueleto triterpenóide. Os deslocamentos químicos dos carbonos 1, 2, 3, 4, 5, 23 e 24 (39,67, 26,24, 90,44, 40,04, 56,88, 28,77 e 17,04 ppm, respectivamente) comparados com os correspondentes da substância modelo 12 (39,2, 26,7, 88,8, 39,6, 56,4, 28,1 e 16,8 ppm)<sup>7</sup> indicaram que o grupo glicopiranósloxí ocupa posição equatorial do carbono 3. A ocupação de posição axial deste carbono provocaria modificações nos deslocamentos químicos dos carbonos acima referidos, como pode ser deduzida pela avaliação dos dados dos triterpenos epi-

\* Esta publicação envolve parte do trabalho químico da tese de Mestrado submetida por M.C.C.D. ao NPPN, Laboratório de Tecnologia Farmacêutica da Universidade Federal da Paraíba; a referência 4 descreve outra parte deste trabalho.

TABELA 1

Deslocamentos químicos dos átomos do ácido  $3\beta$ -glicopiranisol- $21\beta$ -E-cinamoiloxiolean-12-en-28-óico ( $3$ ) e de seu derivado acetilado ( $4$ ), comparados com substâncias modelo  $1$ ,<sup>4</sup>  $12^7$  e  $13^8$ . Os espectros de  $1$ ,  $4$  e  $13$  foram registrados em  $\text{CDCl}_3$ , de  $3$  em  $\text{CD}_3\text{OD}$  e de  $12$  em  $\text{C}_5\text{D}_5\text{N}$ . Os valores foram anotados em ppm ( $\delta$ ) e TMS foi utilizado como referência interna.

C	<i>1</i>	<i>3</i>	<i>4</i>	<i>12<sup>a</sup></i>	<i>13</i>
1	38,48	39,67	39,34	39,20	
2	27,17	26,24	27,71	26,70	
3	78,48	90,44	90,46	88,80	
4	38,78	40,04	38,46	39,60	
5	55,24	56,88	55,54	56,40	
6	18,40	18,76	18,34	18,50	
7	32,77	33,96	32,71		
8	39,24	40,48	38,85		
9	47,63	48,88	48,03		
10	36,99	37,99	36,33		
11	23,43	24,45	24,14		
12	122,65	124,20	123,41		
13	142,77	143,78	142,20		
14	41,74	42,78	41,58		
15	27,77	28,57	28,69		
16	24,45	25,19	25,69		
17	47,92	48,88	46,34		
18	40,71	42,04	40,49		
19	46,61	47,83	47,63		
20	35,31	36,21	35,26		
21	75,61	76,76	75,30		
22	36,77	37,69	36,79		
23	28,14	28,77	28,60	28,10(C-28)	
24	15,71	17,04	16,29	16,80(C-29)	
25	15,34	15,92	15,21	15,80(C-19)	
26	16,93	17,76	17,05	16,50(C-18)	
27	25,74	26,93	25,69		
28	178,72	179,00	181,46		
29	28,82	29,24	29,58		
30	18,40	19,22	18,14		
1'	134,30	135,59	134,45		
2', 6'	127,86	129,19	128,00		
3', 5'	128,65	129,97	128,81		
4'	129,99	131,43	130,25		
7'	144,26	146,01	144,70		
8'	118,37	119,23	118,33		
9'	166,32	167,82	166,51		
1''	—	106,59	102,91	106,90	101,70
2''	—	75,58	71,57	75,70	71,40
3''	—	78,22	72,93	78,70	73,05
4''	—	71,63	68,92	71,80	68,60
5''	—	71,55	71,75	78,30	71,95
6''	—	62,76	62,28	63,10	62,00

<sup>a</sup>utilizou-se somente os deslocamentos químicos considerados necessários para comparação.

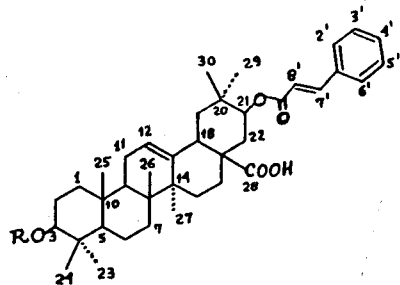
méricos  $15a$  e  $15b$ .<sup>11</sup> Os deslocamentos químicos dos carbonos da unidade glicosídica da substância natural ( $3$ ) analisados em comparação com os do glicosídio  $12$  revelaram que a glicose está ligada ao oxigênio etéreo do carbono  $3$  através da ligação  $\beta$  (Tabela 1). Esta dedução apoiou-se nos dados do derivado acetilado ( $4$ ) e dos modelos  $13^8$  e  $14^{12}$ .

A localização do grupo E-cinamoiloxi na posição equatorial do carbono  $21$  foi definida pelos deslocamentos químicos dos carbonos  $20$ ,  $21$ ,  $22$ ,  $29$  e  $30$  ( $36$ ,  $21$ ,  $76$ ,  $76$ ,  $37$ ,  $69$ ,  $29$ ,  $24$  e  $19$ ,  $22$  ppm, respectivamente), semelhantes aos registros no triterpeno  $1$  (Tabela 1). A possibilidade de localização do grupo E-cinamoiloxi no átomo de carbono  $3$  foi

afastada pela análise comparativa envolvendo os deslocamentos químicos dos carbonos 1, 2, 3, 4, 5, 23 e 24 de 3 (Tabela 1) e do triterpenóide 16.<sup>13</sup>

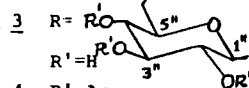
Confirmação adicional da presença e da configuração da unidade E-cinamoiloxi foi obtida da análise do espectro de

R.M.N. <sup>1</sup>H (60 MHz, CDCl<sub>3</sub>, TMS) do derivado acetilado (4): 7,25 (d, J = 16 Hz, H-7'), 6,22 (d, J = 16 Hz, H-8'), 7,32-7,04 (m, 5H-2', 3', 4', 5', 6'). Os outros sinais registrados neste espectro revelaram-se em acordo com as deduções estruturais.



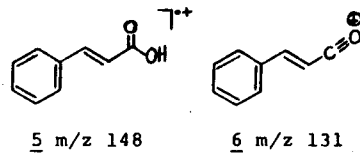
1 R=H

2 R=Ac



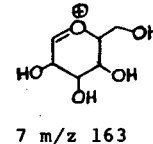
3 R = RO  
R' = H  
R' = OR'

4 R' = Ac

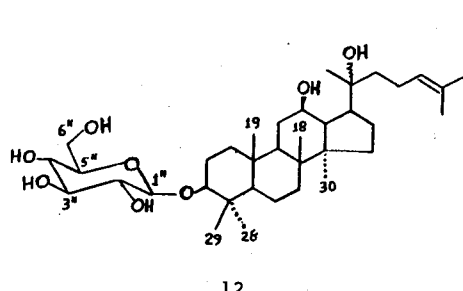


5 m/z 148

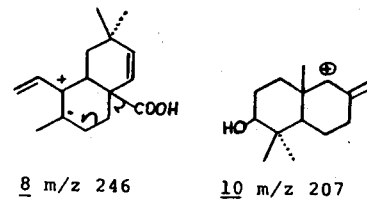
6 m/z 131



7 m/z 163

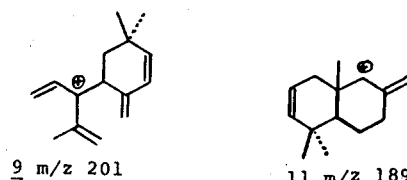


12



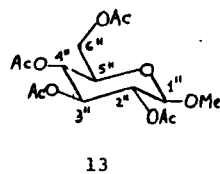
8 m/z 246

10 m/z 207

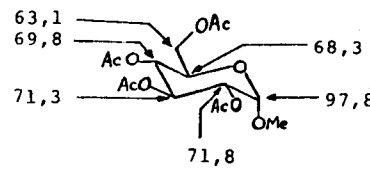


9 m/z 201

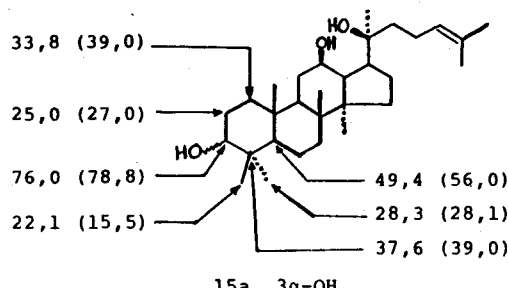
11 m/z 189



13

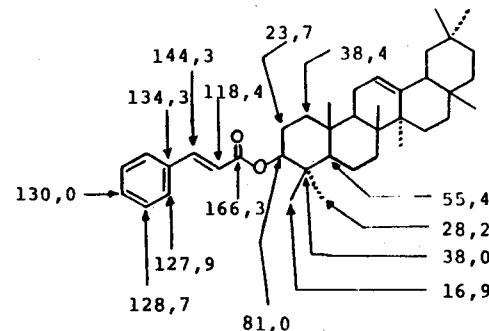


14



15a 3 $\alpha$ -OH

15b 3 $\beta$ -OH (valores de  $\delta$  entre parentesis)



16

## CONCLUSÃO

Os dados espectrais discutidos permitiram deduzir a estrutura de ácido  $3\beta$ -O- $\beta$ -D-glicopiranosil-21 $\beta$ -E-cinamoiloxolean-12-en-28-óico (3) para a substância natural isolada de *Enterolobium contortisiliquum*, surgindo a estrutura 4 para o derivado acetilado. O glicosídio triterpenóico pentacíclico (3) e o seu derivado acetilado (4) são inéditos. Outros triterpenóides isolados da mesma espécie foram descritos recentemente na literatura.<sup>4</sup> Os resultados dos testes biológicos envolvendo o extrato bruto e das substâncias isoladas serão publicados oportunamente por outros autores.

## PARTE EXPERIMENTAL

Isolamento da substância 3 do *Enterolobium contortisiliquum*. Os frutos de uma espécie (identificada pela botânica Maria de F. Agra, Universidade Federal da Paraíba, João Pessoa) foram coletados em João Pessoa, Estado da Paraíba. Após secagem, os frutos foram convertidos em pó (900 g) e extraídos em Soxhlet com hexano e depois com EtOH. O extrato etanólico foi concentrado em evaporador rotativo, sob pressão reduzida, e forneceu 2,4 Kg de resíduo pastoso. Parte deste material (968g) foi solubilizada em etanol e deixada em câmara fria durante 5 horas. O precipitado obtido (saponinas) foi separado e submetido a sucessivas precipitações em etanol. Parte deste material (12g) foi fracionado em coluna de sílica gel, utilizando-se como eluentes CHCl<sub>3</sub> e mistura de CHCl<sub>3</sub> e MeOH obedecendo gradual aumento de polaridade com quantidades crescentes. Foram coletadas 238 frações de 50 ml cada uma. Estas frações foram reunidas em grupos com base na análise comparativa por cromatografia em camada delgada de sílica. O material do grupo IX, oriundo da reunião das frações 216 a 225, eluidas com CHCl<sub>3</sub> + MeOH (80/20), após várias tentativas de recristalização sem sucesso, foi purificado por cromatografia em camada delgada preparativa de sílica gel, obtendo-se 3 (250 mg).

Ácido  $3\beta$ -O- $\beta$ -D-glicopiranosil-21 $\beta$ -E-cinamoiloxolean-12-en-28-óico (3). P.f. 250-252°C (MeOH). I.V. ( $\nu_{\text{max}}$  KBr cm<sup>-1</sup>): 3450, 3000-2500, 1710, 1690, 1630, 1580, 1500, 1260, 1210, 1070, 1020, 960. E.M. m/z (intensidade relativa): 764 (M<sup>+</sup>, ausente), 448 (5), 413(5), 412(6), 391(5), 247(22), 246(99), 233(11), 207(16), 203(32), 201(98), 200(6), 191(12), 190(35), 189(36), 188(8), 187(23), 185(13), 175(27), 173(13), 163(11), 161(17), 159(15), 157(10), 148(30), 147(40), 145(15), 135(18), 133(17), 132(13), 131(100), 123(12), 121(13), 120(12), 119(35), 105(38), 103(30). R.M.N. <sup>13</sup>C (20 MHz, CD<sub>3</sub>OD, TMS, δ): Tabela 1. Derivado acetilado (4), p.f. 208-210°C [obtido por reação de 3 (70 mg) com piridina (2 ml) e anidrido acético (2 ml)]. I.V. ( $\nu_{\text{max}}$  KBr cm<sup>-1</sup>): 3000-2500, 1750, 1716,

1700, 1645, 1230, 1040. R.M.N. <sup>1</sup>H (60 MHz, CDCl<sub>3</sub>, TMS, δ): 7,25 (d, J = 16 Hz, H-7'), 7,04-7,32 (m, 5H-2', 3', 4', 5', 6'), 6,22 (d, J = 16 Hz, H-8'), 5,28 (m, H-12), 5,20-4,20 (m, 5H-1'', 2'', 3'', 4'', 21), 4,10 (sl, 2H-6''), 3,70-3,30 (m, 2H-3,5'), 1,98 (s, 4Ac), 1,00 (S, CH<sub>3</sub>), 0,90 (sl, 5 CH<sub>3</sub>), 0,70 (s, CH<sub>3</sub>). R.M.N. <sup>13</sup>C (20 MHz, CDCl<sub>3</sub>, TMS, δ): Tabela 1.

## AGRADECIMENTOS

Este trabalho recebeu apoio do CNPq através de concessão de bolsa de pesquisa e de auxílios concedidos pelo Conselho Nacional de Desenvolvimento Científico e Tecnológico (CNPq) e Financiadora de Estudos e Projetos (FINEP). Os autores agradecem também ao Professor Antonio J.R. da Silva, NPPN, Universidade Federal do Rio de Janeiro, pelas facilidades oferecidas para registro do espectro de massa.

## REFERÊNCIAS BIBLIOGRÁFICAS

- 1 Braga, R. (1960) "Plantas do Nordeste, especialmente do Ceará", 2<sup>a</sup> ed., p. 458. Imprensa Oficial, Fortaleza, Ceará, Brasil.
- 2 Correia, M.P. (1969) "Dicionário de Plantas Úteis do Brasil", p. 244. IBDF, Rio de Janeiro, Brasil.
- 3 Ferreira, M.B. (1971) "As plantas tóxicas do Distrito Federal" - Cerrado 14, 26.
- 4 Delgado, M.C.C., Silva, M.S. da e Braz Filho, R. (1984) *Phytochemistry* 23, 2289.
- 5 Budzikiewicz, H., Wilson, J.M. e Djerassi, C. (1963) *J. Am. Chem. Soc.* 85, 3688.
- 6 Ogunkoya, L. (1981) *Phytochemistry* 20, 121.
- 7 Yang, T.R., Kasai, R., Zhou, J. e Tanaka, O. (1983) *Phytochemistry* 22, 1473.
- 8 Laffite, C., Phuoc Du, A.M.N., Winternitz, F., Wylde, R. e Pratviel-Sosa, F. (1978) *Carbohydrate Research* 67, 105.
- 9 Doddrell, D.M., Khong, P.W. e Lewis, K.G. (1974) *Tetrahedron Letters*, 2381.
- 10 Ternai, B. e Markham, K.R. (1976) *Tetrahedron* 32, 565.
- 11 Asakawa, J., Kasai, R., Yamasaki, K. e Tanaka, O. (1977) *Tetrahedron* 33, 1935.
- 12 Harada, K. -I., Ito, S. e Suzuki, M. (1982) *Chem. Pharm. Bull.* 30, 4288 (1982).
- 13 Barros, C. (1984), Dissertação de Mestrado, NPPN, Laboratório de Tecnologia Farmacêutica, Universidade Federal da Paraíba, João Pessoa, Paraíba.